



MATERIÁLY

X MEZINÁRODNÍ VĚDECKO-PRAKTICKÁ KONFERENCE



VĚDECKÝ POKROK NA PŘELOMU TYSYACHALETY - 2014

27.05.2014 - 05.06.2014

Díl 21

Ekologie

Zeměpis a geologie

Fyzika

Výstavba a
architektura



Praha
Publishing House
«Education and Science» s.r.o.



Vydáno Publishing House «Education and Science»,
Frýdlanská 15/1314, Praha 8
Spolu s DSP SHID, Berdianskaja 61 Б, Dnepropetrovsk

**Materiály X mezinárodní vědecko - praktická konference
«Vědecký pokrok na přelomu tisíc let – 2014». - Dil 21.
Ekologie.Zeměpis a geologie.Fyzika.Výstavba a architektura.:
Praha. Publishing House «Education and Science» s.r.o -
112 stran**

Šéfredaktor: Prof. JUDr Zdeněk Černák

Náměstek hlavního redaktora: Mgr. Alena Pelicánová

Zodpovědný za vydání: Mgr. Jana Štefková

Manažer: Mgr. Helena Žákovská

Technický pracovník: Bc. Kateřina Zahradníčková

X sběrné nádobě obsahují materiály mezinárodní vědecko - praktická konference «Vědecký pokrok na přelomu tisíc let» (27 května – 05 června 2014 roku) po sekčích Ekologie.Zeměpis a geologie.Fyzika.Výstavba a architektura.

Pro studentů, aspirantů a vědeckých pracovníků

Cena 270 Kč

ISBN 978-966-8736-05-6

© Kolektiv autorů, 2014

© Publishing house «Education and Science» s.r.o.

OPTIKA

Костина Н. А., Одаренко Е. Н.

Харьковский национальный университет радиоэлектроники, Украина

МОДЕЛИРОВАНИЕ ДИФРАКЦИИ ПЛОСКОЙ ВОЛНЫ НА ЦИЛИНДРИЧЕСКОЙ ПОВЕРХНОСТИ С ПОКРЫТИЕМ

Создание и совершенствование современных приборов микроволнового и оптического диапазонов во многом связано с применением новых материалов. Результаты экспериментальных и теоретических исследований искусственных сред с отрицательными значениями материальных параметров (метаматериалы) свидетельствуют о перспективности их применения для разработки новых устройств с необычными электродинамическими характеристиками [1].

На основе применения метаматериалов создаются средства для маскировки объектов (cloaking), формирования уникальных линз, волноводов и высокодобротных резонаторов [2]. Основой для моделирования взаимодействия электромагнитных сигналов с такими объектами служит решение базовых задач дифракции плоских волн на элементарных геометрических объектах – отверстиях, цилиндрах, сферах и т. д.

В данной работе рассматривается дифракция плоской монохроматической волны на металлическом цилиндре со слоем, материальные параметры которого могут иметь как положительные, так и отрицательные значения. Основное внимание уделено разработке средств визуализации распределения поля внутри оболочки и в области пространства вблизи цилиндра. На рис. 1 представлена схема падения волны на исследуемую структуру. Предполагается что вектор напряженности электрического поля направлен вдоль продольной оси цилиндра.

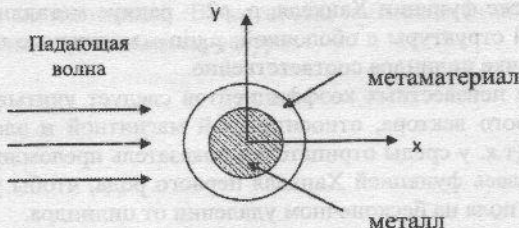


Рисунок 1 – Схема падения волны на цилиндр с оболочкой.

Для решения задачи были использованы представления полей через цилиндрические функции и граничные условия для раздела сред воздух-метаматериал и метаматериал-металл. В результате получили систему уравнений для определения неизвестных коэффициентов разложения. Для решения системы уравнений использовался метод Крамера. Ниже приведены выражения для определителей, которые использовались при составлении расчетного проекта в системе компьютерной алгебры:

$$\Delta = \begin{vmatrix} Hn1(k, \rho_2) & -Jn(k1, \rho_2) & -Yn(k1, \rho_2) \\ k\mu inHn1'(k\rho_2) & -k1\mu Jn'(k1\rho_2) & -k1\mu Yn'(k1\rho_2) \\ 0 & Jn(k1\rho) & Yn(k1\rho) \end{vmatrix}$$

$$\Delta a = \begin{vmatrix} (-i)^n Jn(k, \rho_2) & -Jn(k1, \rho_2) & -Yn(k1, \rho_2) \\ -k\mu inJn'(k\rho_2) & -k1\mu Jn'(k1\rho_2) & -k1\mu Yn'(k1\rho_2) \\ 0 & Jn(k1\rho) & Yn(k1\rho) \end{vmatrix} - \text{для рассеянной волны.}$$

$$\Delta c = \begin{vmatrix} Hn1(k, \rho_2) & (-i)^n Jn(k, \rho_2) & -Yn(k1, \rho_2) \\ k\mu inHn1'(k\rho_2) & -k\mu inJn'(k\rho_2) & -k1\mu Yn'(k1\rho_2) \\ 0 & 0 & Yn(k1\rho) \end{vmatrix}$$

$$\Delta d = \begin{vmatrix} Hn1(k, \rho_2) & -Jn(k1, \rho_2) & (-i)^n Jn(k, \rho_2) \\ k\mu inHn1'(k\rho_2) & -k1\mu Jn'(k1\rho_2) & -i^n k\mu inJn'(k\rho_2) \\ 0 & Jn(k1\rho) & 0 \end{vmatrix} - \text{для волны в слое.}$$

В формулах использованы обозначения: $k, k1$ – волновые векторы в воздухе и оболочке цилиндра соответственно; $Jn, Yn, Hn1$ – функции Бесселя первого и второго рода, а также функции Ханкеля; ρ, ρ_2 – радиус металлического цилиндра и радиус всей структуры с оболочкой; μ, μ_{in} – магнитные проницаемости в воздухе и оболочке цилиндра соответственно.

При вычислении неизвестных коэффициентов следует учитывать отрицательный знак волнового вектора, относительной магнитной и электрической проницаемости слоя (т.к. у среды отрицателен показатель преломления). Рассеянная волна описывалась функцией Ханкеля первого рода, чтобы учесть затухание интенсивности поля на бесконечном удалении от цилиндра.

На рис. 2 приведены результаты расчета пространственного распределения амплитуды электрического поля для двух случаев: рассеяние волны на металлическом цилиндре с диэлектрической оболочкой (рис. 2а) и рассеяние волны на металлическом цилиндре оболочкой из метаматериала (рис. 2б).

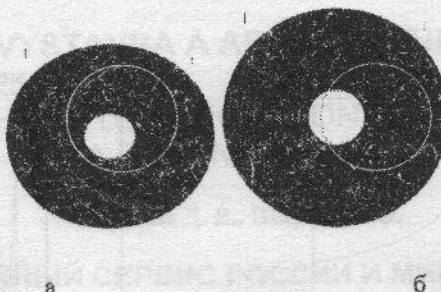


Рисунок 2 – Пространственное распределение амплитуды электрического поля для цилиндра а) с диэлектрической оболочкой, б) с оболочкой из метаматериала.

Как видно из рисунков, для случая с метаматериалом происходит фокусировка поля внутри слоя и наблюдается увеличение интенсивности поля возле границы раздела воздух-метаматериал. Обычная диэлектрическая оболочка искажает распределение поля, однако не фокусирует его. Кроме того, результаты расчетов показывают, что параметры и размеры оболочки оказывают довольно сильное влияние на характеристики рассеянного поля за цилиндром. На рис. 3 представлены результаты расчетов радиальных зависимостей интенсивности электрического поля в рассматриваемой системе. Вертикальными штриховыми линиями показаны границы слоя, нанесенного на металлический цилиндр. Рис. За соответствует диэлектрическому слою, рис. 3б – слою из метаматериала. Очевидно, что изменение знака показателя преломления среды существенно влияет на закономерности распределения поля. В случае обычного диэлектрического покрытия интенсивность поля спадает практически экспоненциально. Если металлический цилиндр покрыт слоем метаматериала, то зависимость становится немонотонной. В частности, наблюдается локальный минимум интенсивности за пределами структуры.

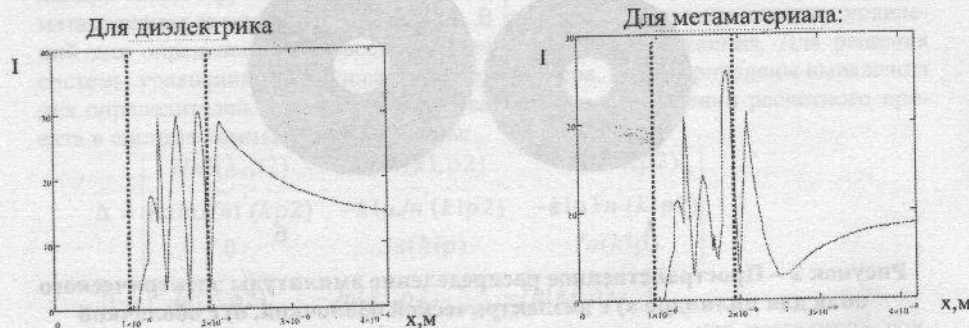


Рисунок 3 – Пространственное распределение интенсивности электрического поля

Графики были построены для отношения диаметра цилиндра к толщине слоя ≈ 2 .

Литература:

1. Li C., Shen Z. Electromagnetic scattering by a conducting cylinder coated with metamaterials // Progress in electromagnetics research. – 2003. – P. 91-105.
2. Wu Q., Zhang K., Meng F.-Y., Li L.-W. Electromagnetic characteristics of metamaterial cloak covered dielectric cylinder illuminated by electric line source // IET Microwaves, Antennas&Propagation. – 2010. – V. 4, Iss.10, P. 1680-1688.